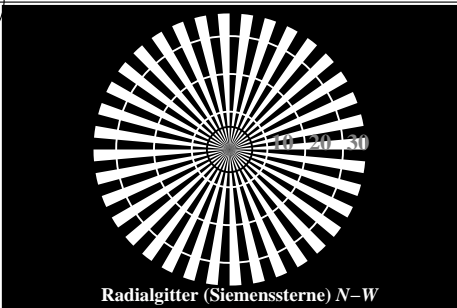
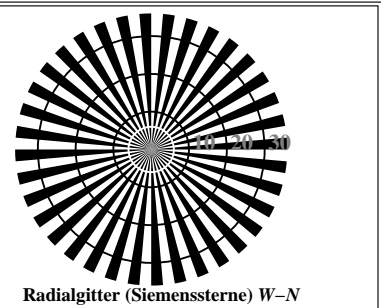


Siehe ähnliche Dateien: <http://130.149.60.45/~farbmetrik/TG73/TG73L0NA.TXT> /PS
Technische Information: <http://www.ps.bam.de> oder <http://130.149.60.45/~farbmetrik>

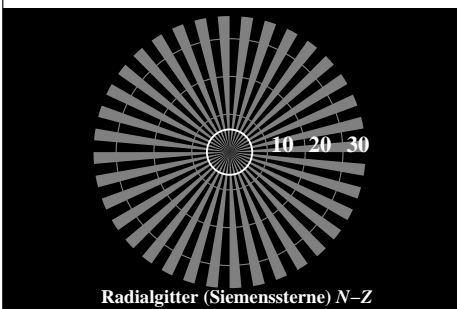
TUB-Registrierung: 20150901-TG73/TG73L0NA.TXT /PS
Anwendung für Messung von Offsetdruck-Ausgabe
TUB-Material: Code=rh4ta



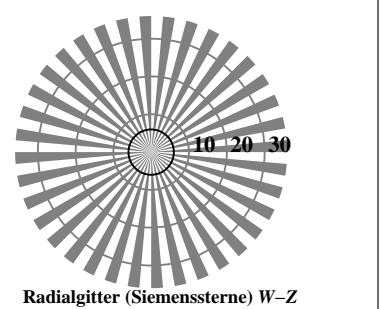
Radialgitter (Siemenssterne) N-W



Radialgitter (Siemenssterne) W-N



Radialgitter (Siemenssterne) N-Z



Radialgitter (Siemenssterne) W-Z

TG730-3, Bild C1W-: Element A: Radialgitter N-W, W-N, N-Z und W-Z; PS-Operator: rgb/cmy0

$L^*/Y_{Eingabe}$	18.0/2.5	37.3/9.7	56.7/24.6	76.1/49.9	95.4/88.6	N_0 (min.)	W_I (max.)
(absolut)							
$w^* = l^*_{CIELAB, r}$							
(relativ)							
$w^*_{Eingabe}$	0,000	0,250	0,500	0,750	1,000	N_0 (min.)	W_I (max.)

TG730-5, Bild C2W-: Element B: 5 visuell gleichabständige L^* -Graustufen + N_0 + W_I ; PS-Operator: rgb/cmy0

$L^*/Y_{Eingabe}$	18.0/2.5	23.2/3.8	28.3/5.6	33.5/7.8	38.6/10.5	43.8/13.7	49.0/17.6	54.1/22.1	59.3/27.3	64.4/33.3	69.6/40.2	74.8/47.9	79.9/56.5	85.1/66.2	90.2/76.8	95.4/88.6
(absolut)																
Nr. und Hex-Code	00;F	01;E	02;D	03;C	04;B	05;A	06;9	07;8	08;7	09;6	10;5	11;4	12;3	13;2	14;1	15;0
$w^* = l^*_{CIELAB, r}$																
(relativ)																
$w^*_{Eingabe}$	0,000	0,067	0,133	0,200	0,267	0,333	0,400	0,467	0,533	0,600	0,667	0,733	0,800	0,867	0,933	1,000

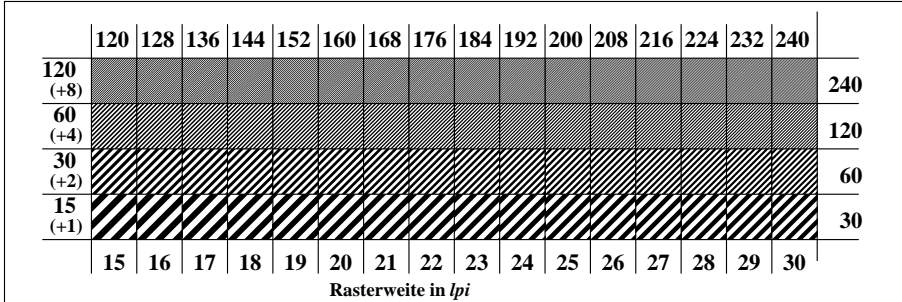
TG730-7, Bild C3W-: Element C: 16 visuell gleichabständige L^* -Graustufen; PS-Operator: rgb/cmy0

$L^*/Y_{Eingabe}$	18.0/2.5	37.3/9.7	56.7/24.6	76.1/49.9	95.4/88.6
(absolut)					
Nr. und Hex-Code	00;F	01;E	02;D	03;C	04;B
$w^* = l^*_{CIELAB, r}$					
(relativ)					
$w^*_{Eingabe}$	0,000	0,250	0,500	0,750	1,000

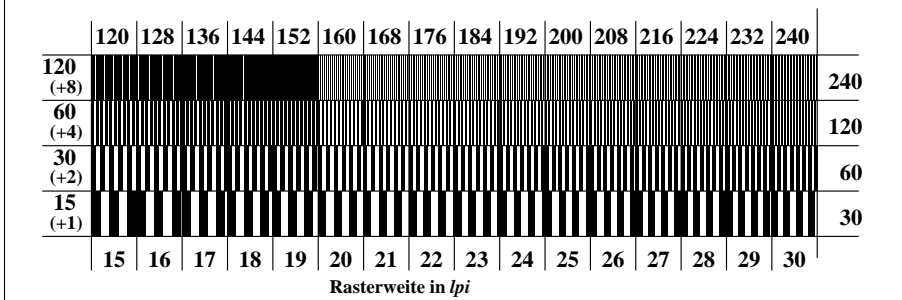
Prüfvorlage TG73; ME16(ISO 9241-306), 3(ISO/IEC 15775) Eingabe: rgb/cmyk -> rgb/cmyk
Achromatische Prüfvorlage N Ausgabe: keine Änderung

Umfeldstufe Hex-Code	0		1	Ringstufe Hex-Code	0-1
	7		8		7-8
	E		F		E-F
	2		0		2-0
	8		6		8-6
	F		D		F-D

TG731-1, Bild C4W-: Element D: Landoltringe W-N; PS-Operator: rgb/cmy0



TG731-3, Bild C5W-: Element E: Linienraster unter 45° (oder 135°); PS-Operator: rgb/cmy0



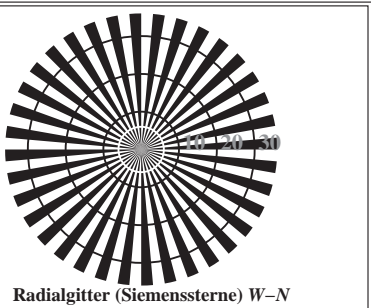
TG731-5, Bild C6W-: Element F: Linienraster unter 90° (oder 0°); PS-Operator: rgb/cmy0

Siehe ähnliche Dateien: <http://130.149.60.45/~farbmetrik/TG73/TG73L0NA.TXT> /PS
Technische Information: <http://www.ps.bam.de> oder <http://130.149.60.45/~farbmetrik>

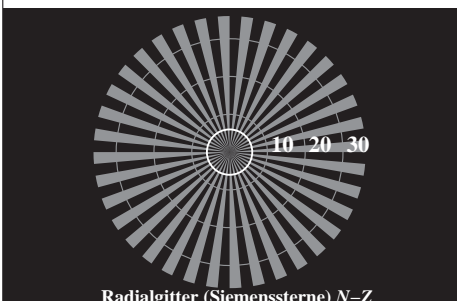
TUB-Registrierung: 20150901-TG73/TG73L0NA.TXT /PS TUB-Material: Code=rh4ta
Anwendung für Messung von Offsetdruck-Ausgabe, Separation cmyrn6 (CMYK)



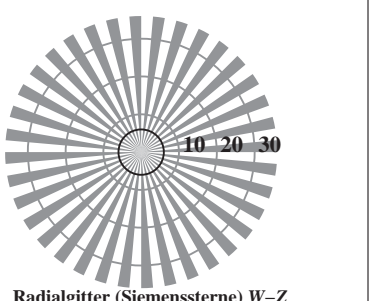
Radialgitter (Siemenssterne) N-W



Radialgitter (Siemenssterne) W-N



Radialgitter (Siemenssterne) N-Z



Radialgitter (Siemenssterne) W-Z

TG730-3, Bild C1Wd: Element A: Radialgitter N-W, W-N, N-Z und W-Z; PS-Operator: rgb/cmy0

L^*/Y_{Eingabe}	18.0/2.5	37.3/9.7	56.7/24.6	76.1/49.9	95.4/88.6	N_0 (min.)	W_I (max.)
(absolut)							
$w^* = l^*_{\text{CIELAB}, r}$							
(relativ)							
w^*_{Eingabe}	0,000	0,250	0,500	0,750	1,000	N_0 (min.)	W_I (max.)

TG730-5, Bild C2Wd: Element B: 5 visuell gleichabständige L^* -Graustufen + N_0 + W_I ; PS-Operator: rgb/cmy0

L^*/Y_{Eingabe}	18.0/2.5	23.2/3.8	28.3/5.6	33.5/7.8	38.6/10.5	43.8/13.7	49.0/17.6	54.1/22.1	59.3/27.3	64.4/33.3	69.6/40.2	74.8/47.9	79.9/56.5	85.1/66.2	90.2/76.8	95.4/88.6
(absolut)																
Nr. und Hex-Code	00;F	01;E	02;D	03;C	04;B	05;A	06;9	07;8	08;7	09;6	10;5	11;4	12;3	13;2	14;1	15;0
$w^* = l^*_{\text{CIELAB}, r}$																
(relativ)																
w^*_{Eingabe}	0,000	0,067	0,133	0,200	0,267	0,333	0,400	0,467	0,533	0,600	0,667	0,733	0,800	0,867	0,933	1,000

TG730-7, Bild C3Wd: Element C: 16 visuell gleichabständige L^* -Graustufen; PS-Operator: rgb/cmy0

Prüfvorlage TG73; ME16(ISO 9241-306), 3(ISO/IEC 15775) Eingabe: rgb/cmyk -> rgb_D
Achromatische Prüfvorlage N, 3D=0, de=0, cmyk Ausgabe: Transfer nach cmyk_D

Umfeldstufe	0		1	Ringstufe	0-1
Hex-Code	7		8	Hex-Code	7-8
	E		F		E-F
	2		0		2-0
	8		6		8-6
	F		D		F-D

Landoltringe W-N Code: Umfeld-Ring

TG731-1, Bild C4Wd: Element D: Landoltringe W-N; PS-Operator: rgb/cmy0

	120	128	136	144	152	160	168	176	184	192	200	208	216	224	232	240	
120 (+8)																	240
60 (+4)																	120
30 (+2)																	60
15 (+1)																	30
	15	16	17	18	19	20	21	22	23	24	25	26	27	28	29	30	

Rasterweite in lpi

TG731-3, Bild C5Wd: Element E: Linienraster unter 45° (oder 135°); PS-Operator: rgb/cmy0

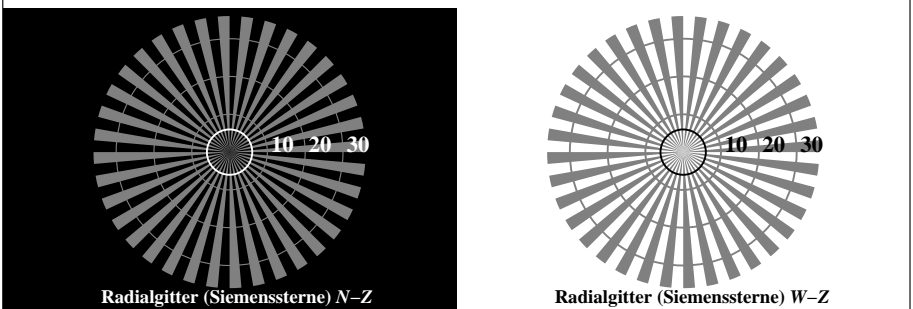
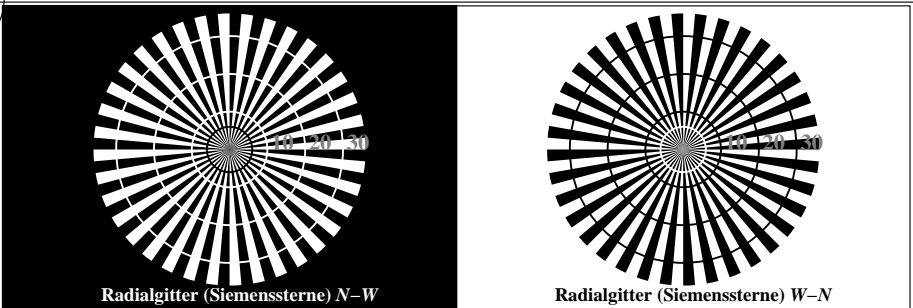
	120	128	136	144	152	160	168	176	184	192	200	208	216	224	232	240	
120 (+8)																	240
60 (+4)																	120
30 (+2)																	60
15 (+1)																	30
	15	16	17	18	19	20	21	22	23	24	25	26	27	28	29	30	

Rasterweite in lpi

TG731-5, Bild C6Wd: Element F: Linienraster unter 90° (oder 0°); PS-Operator: rgb/cmy0

Siehe ähnliche Dateien: <http://130.149.60.45/~farbmetrik/TG73/TG73L0NA.TXT> /PS
Technische Information: <http://www.ps.bam.de> oder <http://130.149.60.45/~farbmetrik>

TUB-Registrierung: 20150901-TG73/TG73L0NA.TXT /PS
Anwendung für Messung von Offsetdruck-Ausgabe
TUB-Material: Code=rh4ta



TG730-3, Bild C1W-: Element A: Radialgitter N-W, W-N, N-Z und W-Z; PS-Operator: rgb/cmy0

$L^*/Y_{Eingabe}$	18.0/2.5	37.3/9.7	56.7/24.6	76.1/49.9	95.4/88.6	N_0 (min.)	W_I (max.)
(absolut)							
$w^* = l^*_{CIELAB, r}$							
(relativ)							
$w^*_{Eingabe}$	0,000	0,250	0,500	0,750	1,000	N_0 (min.)	W_I (max.)

TG730-5, Bild C2W-: Element B: 5 visuell gleichabständige L^* -Graustufen + N_0 + W_I ; PS-Operator: rgb/cmy0

$L^*/Y_{Eingabe}$	18.0/2.5	23.2/3.8	28.3/5.6	33.5/7.8	38.6/10.5	43.8/13.7	49.0/17.6	54.1/22.1	59.3/27.3	64.4/33.3	69.6/40.2	74.8/47.9	79.9/56.5	85.1/66.2	90.2/76.8	95.4/88.6
(absolut)																
Nr. und Hex-Code	00;F	01;E	02;D	03;C	04;B	05;A	06;9	07;8	08;7	09;6	10;5	11;4	12;3	13;2	14;1	15;0
$w^* = l^*_{CIELAB, r}$																
(relativ)																
$w^*_{Eingabe}$	0,000	0,067	0,133	0,200	0,267	0,333	0,400	0,467	0,533	0,600	0,667	0,733	0,800	0,867	0,933	1,000

TG730-7, Bild C3W-: Element C: 16 visuell gleichabständige L^* -Graustufen; PS-Operator: rgb/cmy0

$L^*/Y_{Eingabe}$	18.0/2.5	37.3/9.7	56.7/24.6	76.1/49.9	95.4/88.6
(absolut)					
Nr. und Hex-Code	00;F	01;E	02;D	03;C	04;B
$w^* = l^*_{CIELAB, r}$					
(relativ)					
$w^*_{Eingabe}$	0,000	0,250	0,500	0,750	1,000

Prüfvorlage TG73; ME16(ISO 9241-306), 3(ISO/IEC 15775) Eingabe: rgb/cmyk -> rgb/cmyk
Achromatische Prüfvorlage N Ausgabe: keine Änderung

Umfeldstufe Hex-Code	0		1	Ringstufe Hex-Code	0-1
	7		8		7-8
	E		F		E-F
	2		0		2-0
	8		6		8-6
	F		D		F-D

TG731-1, Bild C4W-: Element D: Landoltringe W-N; PS-Operator: rgb/cmy0

	120	128	136	144	152	160	168	176	184	192	200	208	216	224	232	240	
120 (+8)																240	
60 (+4)																120	
30 (+2)																60	
15 (+1)																30	
	15	16	17	18	19	20	21	22	23	24	25	26	27	28	29	30	

TG731-3, Bild C5W-: Element E: Linienraster unter 45° (oder 135°); PS-Operator: rgb/cmy0

	120	128	136	144	152	160	168	176	184	192	200	208	216	224	232	240	
120 (+8)																240	
60 (+4)																120	
30 (+2)																60	
15 (+1)																30	
	15	16	17	18	19	20	21	22	23	24	25	26	27	28	29	30	

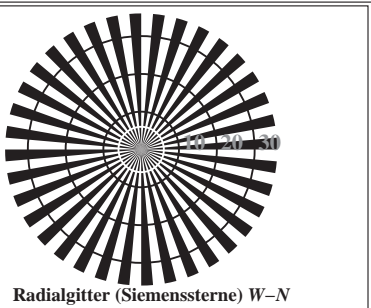
TG731-5, Bild C6W-: Element F: Linienraster unter 90° (oder 0°); PS-Operator: rgb/cmy0

Siehe ähnliche Dateien: <http://130.149.60.45/~farbmetrik/TG73/TG73L0NA.TXT> /PS
Technische Information: <http://www.ps.bam.de> oder <http://130.149.60.45/~farbmetrik>

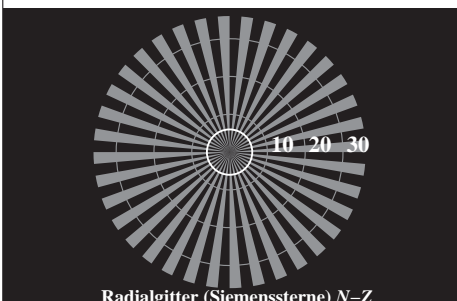
TUB-Registrierung: 20150901-TG73/TG73L0NA.TXT /PS TUB-Material: Code=rh4ta
Anwendung für Messung von Offsetdruck-Ausgabe, Separation cmyk6 (CMYK)



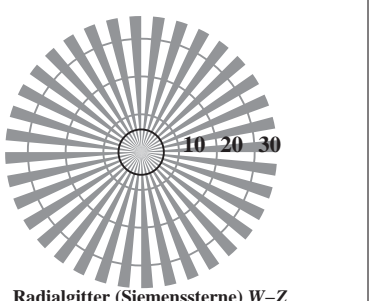
Radialgitter (Siemenssterne) N-W



Radialgitter (Siemenssterne) W-N



Radialgitter (Siemenssterne) N-Z



Radialgitter (Siemenssterne) W-Z

TG730-3, Bild C1We: Element A: Radialgitter N-W, W-N, N-Z und W-Z; PS-Operator: rgb/cmy0

$L^*/Y_{Eingabe}$ 18.0/2.5 37.3/9.7 56.7/24.6 76.1/49.9 95.4/88.6 N_0 (min.) W_I (max.)

(absolut)

$w^* = l^*_{CIE,LAB, r}$

(relativ)

$w^*_{Eingabe}$ 0,000 0,250 0,500 0,750 1,000 N_0 (min.) W_I (max.)

TG730-5, Bild C2We: Element B: 5 visuell gleichabständige L^* -Graustufen + N_0 + W_I ; PS-Operator: rgb/cmy0

$L^*/Y_{Eingabe}$ 18.0/2.5 23.2/3.8 28.3/5.6 33.5/7.8 38.6/10.5 43.8/13.7 49.0/17.6 54.1/22.1 59.3/27.3 64.4/33.3 69.6/40.2 74.8/47.9 79.9/56.5 85.1/66.2 90.2/76.8 95.4/88.6

(absolut)

Nr. und Hex-Code 00;F 01;E 02;D 03;C 04;B 05;A 06;9 07;8 08;7 09;6 10;5 11;4 12;3 13;2 14;1 15;0

$w^* = l^*_{CIE,LAB, r}$

(relativ)

$w^*_{Eingabe}$ 0,000 0,067 0,133 0,200 0,267 0,333 0,400 0,467 0,533 0,600 0,667 0,733 0,800 0,867 0,933 1,000

TG730-7, Bild C3We: Element C: 16 visuell gleichabständige L^* -Graustufen; PS-Operator: rgb/cmy0

Prüfvorlage TG73; ME16(ISO 9241-306), 3(ISO/IEC 15775) Eingabe: rgb/cmyk -> rgb_e
Achromatische Prüfvorlage N, 3D=0, de=1, cmyk Ausgabe: Transfer nach cmyk_e

Umfeldstufe 0 7 E 2 8 F

Hex-Code

1 Ringstufe 0-1 7-8 E-F 2-0 8-6 F-D

Hex-Code

Landoltringe W-N

Code: Umfeld-Ring

TG731-1, Bild C4We: Element D: Landoltringe W-N; PS-Operator: rgb/cmy0

	120	128	136	144	152	160	168	176	184	192	200	208	216	224	232	240	
120 (+8)																	240
60 (+4)																	120
30 (+2)																	60
15 (+1)																	30
	15	16	17	18	19	20	21	22	23	24	25	26	27	28	29	30	
Rasterweite in lpi																	

TG731-3, Bild C5We: Element E: Linienraster unter 45° (oder 135°); PS-Operator: rgb/cmy0

	120	128	136	144	152	160	168	176	184	192	200	208	216	224	232	240	
120 (+8)																	240
60 (+4)																	120
30 (+2)																	60
15 (+1)																	30
	15	16	17	18	19	20	21	22	23	24	25	26	27	28	29	30	
Rasterweite in lpi																	

TG731-5, Bild C6We: Element F: Linienraster unter 90° (oder 0°); PS-Operator: rgb/cmy0

